

# < 時間発展について2の擾動論 > 特に原子による光の吸収と放出

③ 周期的な外場による遷移

④ 非擾動ハミルトニアン  $\hat{H}_0$  (1)  $\hat{H}_0 |\varphi_j\rangle = E_j |\varphi_j\rangle \quad (j=1, 2, \dots)$

$E_j, |\varphi_j\rangle$  はわかるとする. (2)  $\langle \varphi_j | \varphi_k \rangle = \delta_{j,k}$

④ 時間に周期的に依存する外場を含むハミルトニアン

(3)  $\hat{H}(t) = \hat{H}_0 + \hat{V} \cos \omega t$

(4)  $\hat{V} = \hat{V}^\dagger$  外場のポテンシャル

$\omega > 0$  は定数 ( $\omega = 0 \rightarrow$  時間依存のない外場)

時間発展の Schrödinger 方程式 (5)  $i\hbar \frac{\partial}{\partial t} |\psi(t)\rangle = \hat{H}(t) |\psi(t)\rangle$

④ 遷移確率 初期状態

(6)  $|\psi(0)\rangle = |\varphi_n\rangle \leftarrow \hat{H}_0$  の固有状態  $n$  は固定

$|\psi(t)\rangle$  : 対応する (5) の解

(7)  $P_{n \rightarrow m}(t) = |\langle \varphi_m | \psi(t) \rangle|^2$

$P_{n \rightarrow m}(t)$  :  $n$  から  $m$  への遷移確率

時刻  $t$  に測定したとき  $|\varphi_m\rangle$  になる確率

# 時間発展の解析

2

$\hat{V}=0$  なら (1)  $|\psi(t)\rangle = \sum_{j=1}^{\infty} a_j e^{-i\frac{E_j}{\hbar}t} |\psi_j\rangle$  だが時間発展の Sch. eq. (P1-(5)) の解

(2)  $i\hbar \frac{\partial}{\partial t} |\psi(t)\rangle = (\hat{H}_0 + \hat{V} \cos \omega t) |\psi(t)\rangle$  の解を

(3)  $|\psi(t)\rangle = \sum_{j=1}^{\infty} a_j(t) e^{-i\frac{E_j}{\hbar}t} |\psi_j\rangle$  とおき  $\pi \ll 1 = \frac{\omega}{\omega_0} < \frac{\pi}{2}$   
定数変化法!

(4) (2) の左辺 =  $i\hbar \sum_j \dot{a}_j(t) e^{-i\frac{E_j}{\hbar}t} |\psi_j\rangle + \sum_j a_j(t) e^{-i\frac{E_j}{\hbar}t} E_j |\psi_j\rangle$

(5) (2) の右辺 =  $\sum_j a_j(t) e^{-i\frac{E_j}{\hbar}t} E_j |\psi_j\rangle + \sum_j a_j(t) e^{-i\frac{E_j}{\hbar}t} \hat{V} \cos \omega t |\psi_j\rangle$

よって (6)  $i\hbar \sum_j \dot{a}_j(t) e^{-i\frac{E_j}{\hbar}t} |\psi_j\rangle = \sum_j a_j(t) e^{-i\frac{E_j}{\hbar}t} \hat{V} \cos \omega t |\psi_j\rangle$

$$P2-(6) \quad i\hbar \sum_j \dot{\alpha}_j(t) e^{-i\frac{E_j}{\hbar}t} |\varphi_j\rangle = \sum_j \alpha_j(t) e^{-i\frac{E_j}{\hbar}t} \hat{V} \cos \omega t |\varphi_j\rangle$$

任意の  $m$  に  $|\varphi_m\rangle$  との内積

$$\langle \varphi_m | \varphi_j \rangle = \delta_{m,j}$$

$$(1) \quad i\hbar \dot{\alpha}_m(t) e^{-i\frac{E_m}{\hbar}t} = \sum_j \alpha_j(t) e^{-i\frac{E_j}{\hbar}t} \cos \omega t \langle \varphi_m | \hat{V} | \varphi_j \rangle$$

$\because V_{mj}$   
 擾動の行列要素

よ2 時間発展方程式

$$(2) \quad \dot{\alpha}_m(t) = \frac{1}{i\hbar} \sum_{j=1}^{\infty} V_{mj} \alpha_j(t) e^{i\frac{E_m - E_j}{\hbar}t} \cos \omega t$$

( $m=1, 2, \dots$ )

初期条件

$$(3) \quad \begin{cases} \alpha_n(0) = 1 \\ \alpha_j(0) = 0 \quad (j \neq n) \end{cases}$$

(2) は厳密方程式!

# § 振動論

4

初期条件より,  $\hat{V}$  と  $t$  が小に近ければ (1)  $\left\{ \begin{array}{l} \alpha_n(t) \simeq 1 \\ |\alpha_j(t)| \ll 1 \quad j \neq n \end{array} \right.$

よって  $m \neq n$  なら

$$(2) \dot{\alpha}_m(t) = \frac{1}{i\hbar} \sum_{j=1}^{\infty} V_{mj} \alpha_j(t) e^{i \frac{E_m - E_j}{\hbar} t} \cos \omega t$$

$$\simeq \frac{1}{i\hbar} V_{mn} e^{i \frac{E_m - E_n}{\hbar} t} \cos \omega t$$

$\alpha_m(0) = 0$  より

$$(3) \alpha_m(t) \simeq \frac{1}{i\hbar} V_{mn} \int_0^t ds e^{i \frac{E_m - E_n}{\hbar} s} \cos \omega s = \frac{1}{2} (e^{i\omega s} + e^{-i\omega s})$$

$$= \frac{1}{2i\hbar} V_{mn} \left\{ \frac{e^{i \left( \frac{E_m - E_n}{\hbar} + \omega \right) t} - 1}{i \left( \frac{E_m - E_n}{\hbar} + \omega \right)} + \frac{e^{i \left( \frac{E_m - E_n}{\hbar} - \omega \right) t} - 1}{i \left( \frac{E_m - E_n}{\hbar} - \omega \right)} \right\}$$

(1)  $m \neq n$

$$\alpha_m(t) \simeq -\frac{V_{mn}}{2\hbar} \left\{ \frac{e^{\frac{i}{\hbar}(E_m - E_n + \hbar\omega)t} - 1}{\frac{i}{\hbar}(E_m - E_n + \hbar\omega)} + \frac{e^{\frac{i}{\hbar}(E_m - E_n - \hbar\omega)t} - 1}{\frac{i}{\hbar}(E_m - E_n - \hbar\omega)} \right\} \quad 5$$

「55」の「5」のあたり  
大きい。

$\omega \gg \frac{1}{\tau}$  とする。

$$\simeq -\frac{V_{mn}}{2\hbar} \frac{e^{\frac{i}{\hbar}(E_m - E_n \pm \hbar\omega)t} - 1}{\frac{i}{\hbar}(E_m - E_n \pm \hbar\omega)} \quad \begin{cases} E_m < E_n & + \\ E_m > E_n & - \end{cases}$$

なぜか?

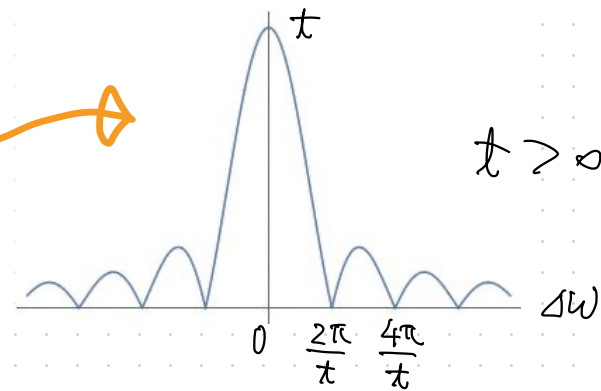
(2)  $|e^{i\theta} - 1|^2 = (e^{i\theta} - 1)(e^{-i\theta} - 1) = (e^{\frac{i\theta}{2}} - e^{-\frac{i\theta}{2}})(e^{-\frac{i\theta}{2}} - e^{\frac{i\theta}{2}})$

$$= 4 \left( \sin \frac{\theta}{2} \right)^2 \quad \text{よ}$$

不要  
(ほかのい)

(3)  $\left| \frac{e^{i\omega t} - 1}{\omega} \right| = \left| \frac{e^{i\frac{\omega}{2}t} - e^{-i\frac{\omega}{2}t}}{\omega} \right| = 2 \frac{|\sin \frac{\omega}{2}t|}{|\omega|}$

$\omega = 0$  のときだけ

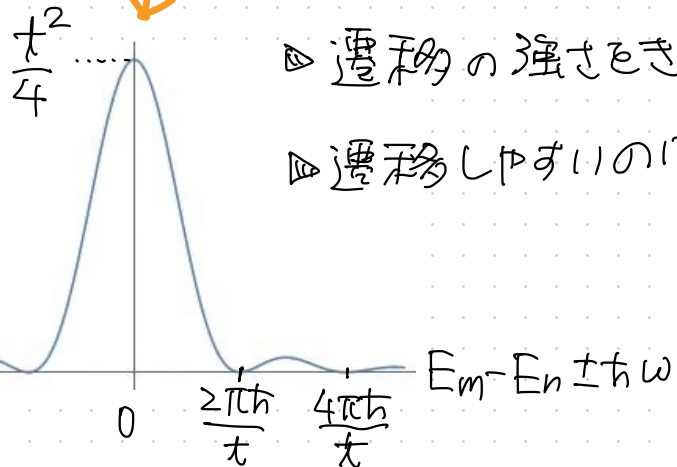


遷移確率の表式' → 初期条件  $\langle \psi(0) | = \langle \psi_n |$

(1)  $P_{n \rightarrow m}(t) = |\langle \psi_m | \psi(t) \rangle|^2 = |\alpha_m(t)|^2$

$$\sim \frac{|V_{mn}|^2}{\hbar^2} \left\{ \frac{\sin\left(\frac{1}{2\hbar}(E_m - E_n \pm \hbar\omega)t\right)}{\frac{1}{\hbar}(E_m - E_n \pm \hbar\omega)} \right\}^2 \quad \begin{cases} \text{ただし} \\ + E_m < E_n \text{ のとき} \\ - E_m > E_n \text{ のとき} \end{cases} \quad m \neq n$$

▷  $|E_m - E_n| \simeq \hbar\omega$  のときには遷移が起きやすい。  
エネルギー  $\hbar\omega$  を吸収あるいは放出



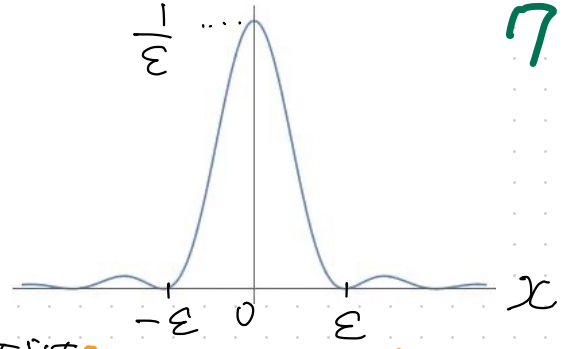
▷ 遷移の強さを定めるのは  $|V_{mn}|^2 = \langle \psi_m | \hat{V} | \psi_n \rangle \langle \psi_n | \hat{V} | \psi_m \rangle$

▷ 遷移しやすいのは  $|E_m - E_n \pm \hbar\omega| \lesssim \frac{\hbar}{t}$  のとき  
||  
 $\Delta E$

( $\Delta E \cdot t \lesssim \hbar$  不確定性原理, ほど)

# ▷ Fermi の黄金律 (golden rule)

$\varepsilon > 0 \rightarrow 1/2$  (1)  $\delta_\varepsilon(x) := \frac{\varepsilon}{\pi^2} \left( \frac{\sin(\frac{\pi}{\varepsilon}x)}{x} \right)^2$



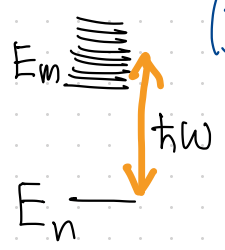
(2)  $\int_{-\infty}^{\infty} dx \delta_\varepsilon(x) = 1$   $|x| \lesssim \varepsilon$  にほぼ集中

(3)  $\delta_\varepsilon(x) \xrightarrow{\varepsilon \rightarrow 0} \delta(x)$  である  $\varepsilon$  に与え直した  $\varepsilon = 1/\tau$  ( $\varepsilon = 2\pi\hbar/\tau \approx \hbar/\tau$ )

PG-(1)  $\iff$  (4)  $P_{n \rightarrow m}(t) \approx |V_{mn}|^2 \frac{\pi t}{2\hbar} \delta_{\hbar/\tau}(E_m - E_n \pm \hbar\omega)$

▷  $E_n \pm \hbar\omega$  の近辺に多くのよく似たエネルギー準位  $|V_{mn}|^2 \approx |V|^2$   
 である...  $n$  から、これらの1つあたりに遷移する確率

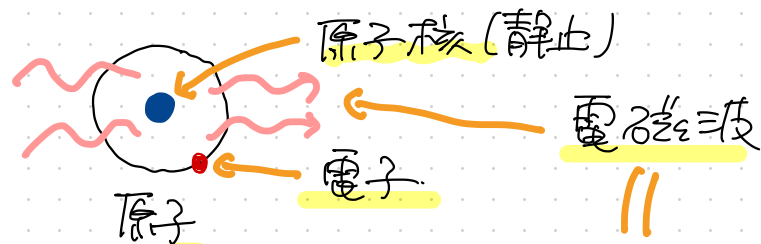
(5)  $P_{n, \pm \hbar\omega} = \sum_m P_{n \rightarrow m}(t) \approx |V|^2 \frac{\pi t}{2\hbar} \sum_m \delta_{\hbar/\tau}(E_m - E_n \pm \hbar\omega)$   
 $\approx |V|^2 \frac{\pi t}{2\hbar} \int dE \rho \delta(E - E_n \pm \hbar\omega) = \frac{\pi}{2\hbar} |V|^2 \rho t$



エネルギー状態密度  $\rho$       単位時間あたりの遷移確率とされる。

# 応用: 原子による電磁波(光子)の吸収と放出

8



本来は光子だが!  
古典的な電磁波として扱う。

▶ 時間的に空間的に振動する電場 + 磁場

空間的には一様と近似

効果は小さいので  
~~無視~~

(H原子  $E_2 - E_1 \approx 10\text{eV} \Rightarrow \lambda \sim 10^{-7}\text{m} \gg$  原子の大きさ  $10^{-10}\text{m}$ )

▶ 時間的に振動する一様電場 (1)  $E(t) = E_0 \cos \omega t$

定バクセル

電子の感じるポテンシャル (H原子の場合)

(2)  $e E_0 \cdot \hat{r} \cos \omega t$

$\hat{r} = (\hat{x}, \hat{y}, \hat{z})$  電子の位置演算子



光の吸収 電子のエネルギー固有状態  $|\varphi_n\rangle, |\varphi_m\rangle$   $E_n < E_m$  とする。

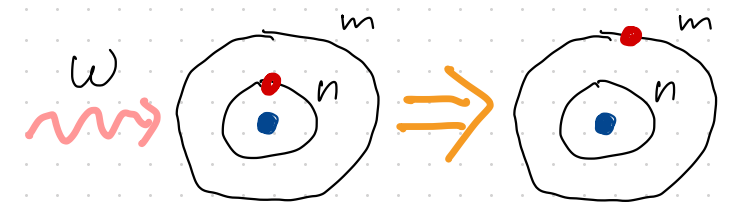
(1)  $V_{mn} = \langle \varphi_m | \hat{V} | \varphi_n \rangle = E_0 \cdot \underbrace{e \langle \varphi_m | \hat{r} | \varphi_n \rangle}_{\substack{\text{偶関数の行列要素} \\ \therefore -P_{mn}}} \quad P_{mn} \text{ (電気分極の行列要素)}$

時刻 0 で  $|\varphi_n\rangle$  にいた電子が 時刻  $t$  に  $|\varphi_m\rangle$  になった確率 (p6-(1))

(2) 
$$P_{n \rightarrow m}(t) \simeq \frac{|V_{mn}|^2}{\hbar^2} \left( \frac{\sin\left(\frac{1}{2\hbar}(E_m - E_n - \hbar\omega)t\right)}{\frac{1}{\hbar}(E_m - E_n - \hbar\omega)} \right)^2$$

$$\simeq \frac{|E_0 \cdot P_{mn}|^2}{\hbar^2} \left( \frac{\sin\left(\frac{1}{2\hbar}(E_m - E_n - \hbar\omega)t\right)}{\frac{1}{\hbar}(E_m - E_n - \hbar\omega)} \right)^2$$

遷移  $n \rightarrow m$  が起きるのは主に  $E_m \simeq E_n + \hbar\omega$  のとき ( $\hbar\omega > 0$ )  
↑ 角振動数  $\omega$  の光子のエネルギー



(よく見る) 111か121555

エネルギー  $\hbar\omega$  の光子をひとへ吸収し  
 電子のエネルギーが  $E_n$  から  $E_m$  に変わった!

(ただし 二つの電磁場は古典的電磁場)

光の放出 電子のエネルギー固有状態  $|\psi_n\rangle, |\psi_m\rangle$   $E_n < E_m$  とする。

時刻 0 で  $|\psi_m\rangle$  にいた電子が 時刻  $t$  に  $|\psi_n\rangle$  になった確率 (P6-11)

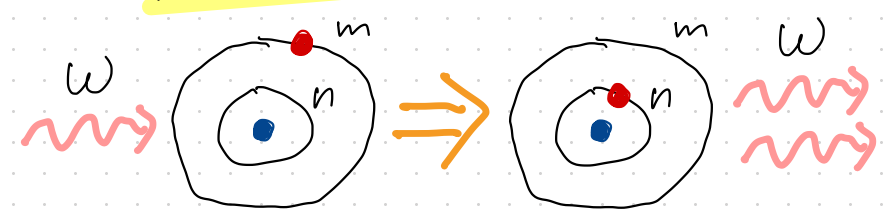
$$(1) P_{m \rightarrow n}(t) \simeq \frac{|E_0 \cdot P_{nm}|^2}{\hbar^2} \left( \frac{\sin\left(\frac{1}{2\hbar}(E_n - E_m + \hbar\omega)t\right)}{\frac{1}{\hbar}(E_n - E_m + \hbar\omega)} \right)^2$$

→ 各成分の複素共役.

$$(2) P_{nm} = -e \langle \psi_m | \hat{r} | \psi_n \rangle = -e \langle \psi_n | \hat{r} | \psi_m \rangle^* = P_{mn}^* \quad \text{だから}$$

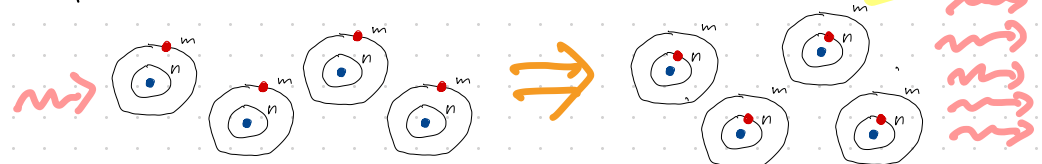
$$(3) P_{m \rightarrow n}(t) = P_{n \rightarrow m}(t) \quad (\text{この近似の範囲での等号})$$

遷移  $m \rightarrow n$  電磁波の影響をうけて電磁波を放出 誘導放出



$\hbar\omega$  の光子が 1 つ入って  
同じ  $\hbar\omega$  の光子が 2 つ出てくる!

状態  $|\psi_m\rangle$  の原子をたくさん用意



光子を増幅できる!

light amplification by  
stimulated emission of  
radiation

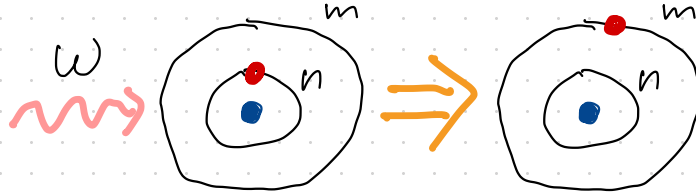
自然放出  $n \rightarrow m$

$$E_n < E_m$$

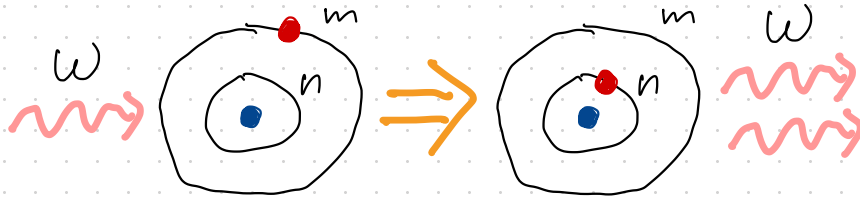
$$E_m - E_n \approx \hbar \omega$$

11

吸収  
 $n \rightarrow m$



誘導放出  
 $m \rightarrow n$

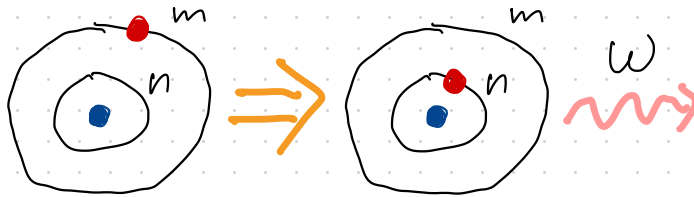


$$P_{n \rightarrow m}(t)$$

$$\parallel$$
  
$$P_{m \rightarrow n}(t)$$

この3現象はともなう

自然放出  
 $m \rightarrow n$



電子の量子力学 + 古典的電磁場 では記述できない

電磁場を量子力学的に扱わなければならない。  $\rightarrow$  (電磁場の「量子化」)

⑤ 周波数に分布のある電磁波の扱い. **不要**

簡単のため  $\mathbf{E}_0 = (0, 0, E_0)$  とすると  $|\mathbf{E}_0 \cdot \mathbf{P}_{mn}|^2 = E_0^2 |P_{mn}^{(z)}|^2$

電磁場のエネルギー密度  $u = \frac{\epsilon_0}{2} E_0^2$  を使えば p9-(2) は

$$(1) P_{n \rightarrow m}(t) \simeq \frac{2u |P_{mn}^{(z)}|^2}{\epsilon_0 \hbar^2} \left( \frac{\sin\left(\frac{1}{2\hbar}(E_m - E_n - \hbar\omega)\right)}{\frac{1}{\hbar}(E_m - E_n - \hbar\omega)} \right)^2$$

p7-(1)  $\rightarrow$

$$= \frac{\pi |P_{mn}^{(z)}|^2}{\epsilon_0 \hbar} u t \delta_{\hbar/\hbar}(E_m - E_n - \hbar\omega)$$

$\omega \sim \omega + \Delta\omega$   
 $\delta(E_m - E_n - \hbar\omega)$   
 $P(\omega) \Delta\omega$

- 電磁波が様々な角振動数の成分の集まり エネルギー密度の分布  $P(\omega)$
- 異なった角振動数成分による遷移は独立.  $u \rightarrow P(\omega) d\omega$

$$(2) \overline{P_{n \rightarrow m}(t)} \simeq \int d\omega \frac{\pi |P_{mn}^{(z)}|^2}{\epsilon_0 \hbar} P(\omega) t \delta_{\hbar/\hbar}(E_m - E_n - \hbar\omega)$$

遷移確率  $\simeq \frac{\pi |P_{mn}^{(z)}|^2}{\epsilon_0 \hbar^2} P(\omega_{mn}) t$

$$\omega_{mn} = \frac{1}{\hbar}(E_m - E_n)$$

$E_0 = (0, 0, E_0)$  のとき

不要

13

$$(1) \overline{P_{n \rightarrow m}(t)} \simeq \frac{\pi |P_{mn}^{(2)}|^2}{\epsilon_0 \hbar^2} P(W_{mn}) \quad t \quad W_{mn} := \frac{1}{\hbar} (E_m - E_n)$$

この結果を 電磁波の方向と偏光方向について等方的に平均すると  
(計算は略)

$$(2) \overline{P_{n \rightarrow m}(t)} \simeq \frac{\pi |P_{mn}|^2}{3 \epsilon_0 \hbar^2} P(W_{mn}) \quad t \quad (E_n > E_m \text{ とも同じ})$$

$$(3) P_{mn} = e \langle \psi_m | \hat{r} | \psi_n \rangle$$

遷移確率は  $t$  に比例!

単位時間あたりの遷移確率と  
みなされる。

選択規則

→ 一般化もできる.

H原子の場合

電子のエネルギー固有状態  $|\psi_{n,l,m}\rangle$  $(n,l,m) \rightarrow (n',l',m')$  の遷移の大きさを決めるのは

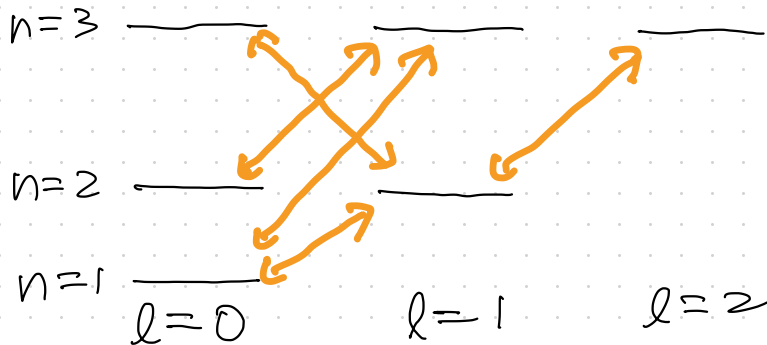
行列要素  $\langle \psi_{n',l',m'} | \hat{V} | \psi_{n,l,m} \rangle \quad \hat{V} = e E_0 \cdot \hat{r}$

選択規則

$$m' - m = 0, \pm 1 \text{ 以外では } \langle \psi_{n',l',m'} | \hat{V} | \psi_{n,l,m} \rangle = 0$$

$$l' - l = \pm 1 \text{ 以外では } \langle \psi_{n',l',m'} | \hat{V} | \psi_{n,l,m} \rangle = 0$$

計算しないでも分かる  
ゼロになる成分が  
わかる!



これは以外の  
遷移は  
ない!

15 昇降算子の導出 ( $m$  の範囲は  $l$ )  $|\psi_{n,l,m}\rangle \rightarrow |n,l,m\rangle$

15

(1)  $[\hat{L}_z, \hat{z}] = 0$  より

(2)  $0 = \langle n', l', m' | (\hat{L}_z \hat{z} - \hat{z} \hat{L}_z) | n, l, m \rangle = (m' - m) \hbar \langle n', l', m' | \hat{z} | n, l, m \rangle$

(3)  $m' \neq m$  ならば  $\langle n', l', m' | \hat{z} | n, l, m \rangle = 0$

(4)  $[\hat{L}_z, \hat{x}] = i \hbar \hat{y}$  より

(5)  $(m' - m) \hbar \langle n', l', m' | \hat{x} | n, l, m \rangle = i \hbar \langle n', l', m' | \hat{y} | n, l, m \rangle$

(6)  $[\hat{L}_z, \hat{y}] = -i \hbar \hat{x}$  より

(7)  $(m' - m) \hbar \langle n', l', m' | \hat{y} | n, l, m \rangle = -i \hbar \langle n', l', m' | \hat{x} | n, l, m \rangle$

(5) と (7)  $\Rightarrow$  (8)  $(m' - m)^2 \langle n', l', m' | \hat{x} | n, l, m \rangle = \langle n', l', m' | \hat{x} | n, l, m \rangle$

(9)  $(m' - m)^2 \neq 1$  ならば  $\langle n', l', m' | \hat{x} | n, l, m \rangle = 0$

(5) より

(10)  $(m' - m)^2 \neq 1$  ならば  $\langle n', l', m' | \hat{y} | n, l, m \rangle = 0$